

# 胆固醇氧化酶 PsCO<sub>4</sub> 异源表达、纯化及酶学性质分析

郭倩倩<sup>1,2,3</sup> 高登科<sup>1,2,3</sup> 程晓涛<sup>1,2,3</sup> 路福平<sup>1,2,3</sup> 秦慧民<sup>1,2,3\*</sup>

(1 天津科技大学生物工程学院 天津 300457 2 省部共建食品营养与安全国家重点实验室 天津 300457 3 工业发酵微生物

教育部重点实验室 天津 300457)

**摘要:** 胆固醇氧化酶专一性地催化胆固醇为胆甾-4-烯-3-酮, 广泛地应用于临床以及食品加工行业。本论文将来源于 *Pimelobacter simplex* 的胆固醇氧化酶 PsCO<sub>4</sub>, 分别转化到大肠杆菌宿主 BL21(DE3)、Rosetta(DE3)和 C41(DE3)中, 在不同温度 (15 °C、25 °C、37 °C) 及 IPTG 诱导浓度 (0.01 mM、0.1 mM、0.5 mM) 下异源表达 PsCO<sub>4</sub>。结果表明, 转入 Rosetta(DE3) 菌株的 PsCO<sub>4</sub> 蛋白, 在 IPTG 浓度为 0.1 mM、15 °C 下经 18 h 诱导表达, PsCO<sub>4</sub> 可溶性表达量最高 (0.63 mg/ml)。异源表达的胆固醇氧化酶 PsCO<sub>4</sub> 最适温度为 30 °C, 最适 pH 为 7.5。通过 TLC, GC-MS 检测出 PsCO<sub>4</sub> 催化胆固醇生成胆甾-4-烯-3-酮。以胆固醇和β-谷甾醇、豆甾醇和孕烯醇酮为底物, 测定 PsCO<sub>4</sub> 对四种底物的催化反应动力学参数, 胆固醇  $k_{cat}/K_m$  为  $0.08\text{ s}^{-1}\cdot\mu\text{M}^{-1}$  分别高于β-谷甾醇 ( $0.04\text{ s}^{-1}\cdot\mu\text{M}^{-1}$ )、豆甾醇 ( $0.005\text{ s}^{-1}\cdot\mu\text{M}^{-1}$ ) 和孕烯醇酮 ( $0.02\text{ s}^{-1}\cdot\mu\text{M}^{-1}$ )。

**关键词:** 胆固醇氧化酶; 催化活性; 酶学性质; 底物特异性

## Heterologous expression, purification and enzymatic characterization of cholesterol oxidase PsCO<sub>4</sub>

GUO Qian-qian<sup>1,2,3</sup>, GAO Deng-ke<sup>1,2,3</sup>, CHENG Xiao-tao<sup>1,2,3</sup>, LU Fu-ping<sup>1,2,3</sup>, QIN Hui-min<sup>1,2,3\*</sup>

1. College of Biotechnology, Tianjin University of Science and Technology; Tianjin 300457, China

2. State Key Laboratory of Food Nutrition and Safety; Tianjin 300457, China

3. Key Laboratory of Industrial Fermentation Microbiology Ministry of Education; Tianjin 300457, China

**Abstract:** Cholesterol oxidase, which catalyzes the reaction of cholesterol to cholest-4-en-3-one, is widely used in clinical and food processing industry. Cholesterol oxidase from *Pimelobacter simplex* (PsCO<sub>4</sub>) was transformed into *E. coli* BL21(DE3), Rosetta(DE3), and C41(DE3). The bacteria was induced at different temperatures (15 °C, 25 °C, 37 °C), and different IPTG concentrations (0.01 mM, 0.1 mM, 0.5 mM). The results showed that PsCO<sub>4</sub> was expressed greatly in supernatant of Rosetta(DE3) (0.63 mg/ml), at the conditions of 0.1 mM IPTG and 15 °C. The optimum temperature and pH of heterologous expressed PsCO<sub>4</sub> was 30 °C and 7.5. The product of cholesterol catalyzed by PsCO<sub>4</sub> was identified by TLC and GC-MS. The substrate specificity of PsCO<sub>4</sub> towards cholesterol and β-sitosterol and stigmasterol and pregnenolone was determined. The  $K_m/k_{cat}$  value of cholesterol ( $0.08\text{ s}^{-1}\cdot\mu\text{M}^{-1}$ ) is higher than β-sitosterol ( $0.04\text{ s}^{-1}\cdot\mu\text{M}^{-1}$ ), stigmasterol ( $0.005\text{ s}^{-1}\cdot\mu\text{M}^{-1}$ ) and pregnenolone ( $0.02\text{ s}^{-1}\cdot\mu\text{M}^{-1}$ ).

**Key word:** cholesterol oxidase; catalytic activity; enzymatic property; substrate specificity

基金项目: 国家自然科学基金 (批准号: 31771911) 资助。

第一作者: 郭倩倩 (1992 年生), 女, 主要研究方向: 酶工程

\*通讯作者, 电子信箱: huiminqin@tust.edu.cn

胆固醇作为自然界中含量丰富的甾醇化合物之一，构成了人体的主要脂类物质，并具有重要的生理功能<sup>[1]</sup>，例如：细胞膜的重要组成成分，对生物膜的透性有一定的调节作用；内分泌腺合成类固醇激素的原料；有助于血管壁的修复和保持完整<sup>[2,3]</sup>。尽管胆固醇为人体所必需，但在人体内过量时也会造成危害，如造成动脉硬化、冠心病、脑中风等心脑血管疾病<sup>[5]</sup>。国内外大量的研究资料证实，膳食因素与心脑血管疾病的发生关系密切，控制和减少膳食中胆固醇的摄入量，对降低胆固醇水平，预防心血管疾病至关重要<sup>[6]</sup>。

胆固醇能够被胆固醇氧化酶消化，生成胆甾-4-烯-3-酮和  $H_2O_2$ ，也可以作用于含有羟基的甾体类化合物<sup>[4]</sup>。临床上，广泛应用胆固醇氧化酶来检测血清中胆固醇的浓度。同时，在食品加工行业中应用胆固醇氧化酶来减少食品中的胆固醇。此外，在农业应用方面胆固醇氧化酶作为一种防治鳞翅目害虫的生物农药<sup>[7]</sup>。动植物来源的胆固醇氧化酶研究较少，目前主要研究集中在微生物来源的胆固醇氧化酶，已报道的产胆固醇氧化酶微生物有：*Arthrobacter*（节杆菌），*Pimelobacter*（脂肪杆菌），*Corynebacterium*（棒状杆菌），*Nocardia erythropolis*（红平诺卡氏菌），*Rhodococcus erythropolis*（红平红球菌），*Mycobacterium*（分支杆菌），*Pseudomonas*（假单胞菌），*Brevibacterium sterolicum*（甾短杆菌），*Rhodococcus* sp.（红球菌）和 *Streptomyces* sp.（链霉菌）。

胆固醇氧化酶对胆固醇的催化反应为三步反应如图 1 所示，第一步反应称作“还原半反应”，将第一个己烷环上的 3-羟基脱氢，随之将两个氧化还原当量转移到氧化态的黄素辅因子（E-FloX）而成为还原态（E-FredH）；第二步反应称作“氧化半反应”，即此时还原态的黄素辅因子与分子氧反应，生成氧化态的黄素辅因子和过氧化氢；最后一步反应叫做“异构化”，即第二个己烷环上的双键从 $\Delta 5-6$  转移到第一个己烷环上的 $\Delta 4-5$ ，最终生成产物胆甾-4-烯-3-酮<sup>[8]</sup>。

当前，国内外对胆固醇氧化酶的研究已有一定的深度。Sohnngen 于 1913 年首次揭示分支杆菌（*Mycobacteria* sp.）能在基中生长。Turfitt 发现 *N. erythropolis* 能够降解胆固醇，并首次分离得到胆固醇氧化酶<sup>[9]</sup>。随后，很多不同来源的胆固醇氧化酶被发现，同时有很多方法也被应用于胆固醇氧化酶的研究当中，如采用蛋白变性再复性的方法对异源表达的不可溶蛋白进行纯化，进而对蛋白进行酶

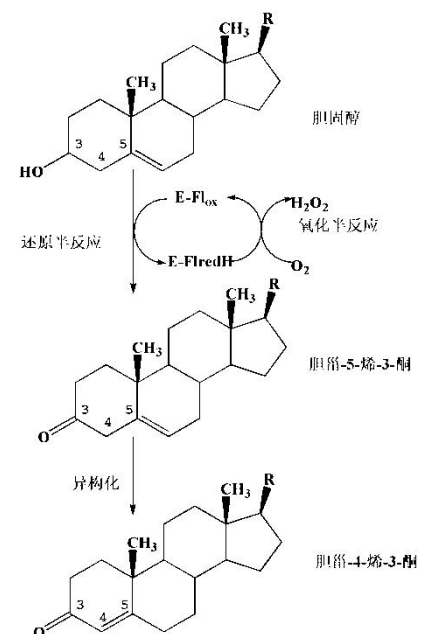


图 1 胆固醇氧化酶的三步催化反应

Fig. 1 Three-step catalytic reaction of cholesterol oxidase

学性质的研究<sup>[12]</sup>，此方法已在  $\text{PsCO}_3$  的研究中得到了证实<sup>[10]</sup>。如今，胆固醇氧化酶的催化机理已被阐明，不同来源的胆固醇氧化酶的空间结构已被解析，但少有对 *Pimelobacter* 来源的胆固醇氧化酶的研究。本文主要介绍了 *Pimelobacter simplex* 来源的胆固醇氧化酶基因  $\text{PsCO}_4$  异源表达、经分离纯化后重组酶的酶学性质，以及通过结构模拟揭示其催化反应机理。

## 1 材料和方法

### 1.1 材料

#### 1.1.1 实验材料及仪器

大肠杆菌 BL21(DE3)、Rosetta(DE3)、C41(DE3), pET-28a(+)质粒以及 *Pimelobacter simplex* 为本实验室保藏；实验使用常规试剂为国药集团化学试剂有限公司（上海，中国）和上海生工生物工程股份有限公司（上海，中国）生产。胆固醇及胆甾-4-烯-3-酮标准品，抗生素购置 Sigma。酵母提取物及胰蛋白胨为 OXOID 公司生产。Ni-NTA Surperflow 及 Open Column 为德国 QIAGEN 公司生产，10 KDa 超滤管购自 Millipore 公司。低分子量蛋白质 Marker，质粒小提试剂盒购自 OMEGA，BCA 蛋白浓度试剂盒购自北京 Solarbio 科技有限公司（北京，中国）。限制性内切酶 *EcoR* I 和 *Xho* I，连接酶 solution I，DNA 聚合酶 Prime STAR Max 均购自宝日医生物技术有限公司(北京，中国)。离子交换色谱柱（SOURCE™ 15S）和凝胶过滤色谱柱(Superdex™ 200 Increase)均购自美国 GE 公司。

#### 1.1.2 仪器

SDS-PAGE 电泳系统、Quantity One 凝胶成像系统；TU 1810 紫外可见分光光度计购自北京普析通用仪器公司（北京，中国）；Avanti J-26s xp 低温高速离心机购自美国 Beckman Coulter；Multifuge X1R 台式冷冻离心机、酶标仪购自德国 Thermo scientific；Mastercycler nexus PCR 仪购自德国 eppendorf AG；ÄKTA™ pure 购自美国 GE 公司；超声波细胞粉碎机购自宁波新艺超声设备有限公司（浙江，中国）。

### 1.2 方法

#### 1.2.1 $\text{PsCO}_4$ 异源表达载体的构建

以 *P. simplex* 基因组为模板，设计引物 Primer F：(CGGAATTC ATGCACGCAG AAGACCGCG)，Primer R：(CCGCTCGAG TCAGCCGCGGT TGGGCCACAC)，进行 PCR 扩增目的基因片段。PCR 体系为 25  $\mu\text{l}$ ，程序为：98 °C 预变性 30 s；98 °C 变性 10 s，55 °C 退火 15 s，72 °C 延伸 10 s，30 个循环；72 °C 延伸 7 min。将获得的扩增片段以及载体 pET-28a(+) 用限制性内切酶 *EcoR* I 和 *Xho* I 进行双酶切反应，酶切产物经 Cycle-pure kit (OMEGA) 纯化回收，Solution I 过夜低温连接，通过热击转化法转入 *E. coli* JM109 中，挑取转化子菌落 PCR

以及单双酶切进行验证，最后送样品至测序公司进行验证。

### 1.2.2 重组蛋白表达条件优化

为了获得大量可溶性重组蛋白，对蛋白诱导表达条件进行合理优化。选择大肠杆菌宿主：BL21(DE3)、Rosetta(DE3)、C41(DE3)；IPTG 诱导浓度：0.01 mM，0.1 mM，0.5 mM；诱导温度 15 °C、25 °C、37 °C。离心收集菌体并破碎，高速离心取上清进行 SDS-PAGE 电泳分析。使用 Quantity One 采集凝胶图像，用 Image Lab 软件对 SDS-PAGE 电泳图做灰度分析，研究不同诱导条件下目标蛋白表达量所占百分比。使用 BCA 试剂盒测定上清液总蛋白的浓度，计算不同表达宿主、诱导条件下的 PsCO<sub>4</sub> 表达量。

### 1.2.3 重组蛋白的纯化步骤及条件

将构建好的重组质粒通过热击转化法转入 *E. coli* BL21 中过夜培养，挑取转化子转接试管培养，再转接到摇瓶中诱导表达，5000 rpm 10min 离心收菌。异源表达的蛋白 PsCO<sub>4</sub> 在 N 端含有 His 标签。采用亲和层析法（Ni-NTA Surperflow 树脂）初步纯化蛋白，收集菌体后，加入适量裂解缓冲液，超声破碎，40 000 g，4 °C 离心 30 min，取上清液与提前平衡的 Ni-NTA Surperflow 结合 1 h，使用洗杂缓冲液，洗脱 20 个柱体积，洗脱杂质蛋白，用 10 个柱体积洗脱缓冲液溶出目标蛋白 PsCO<sub>4</sub>；采用离子交换层析、凝胶色谱层析进一步对蛋白进行纯化，用上一步纯化得到的洗脱缓冲液进行离子交换（4MPa，3ml/min），分子筛（2.3MPa，0.5ml/min）。

### 1.2.4 PsCO<sub>4</sub> 酶学性质测定

酶活力检测方法参考季文明等<sup>[11]</sup>的方法。溶液 A（4-氨基-安替比林 1 mM，苯酚 6 mM，辣根过氧化物酶 7000 U/L，PBS 缓冲液）；溶液 B（0.08% 胆固醇，4.3% Triton X-100，异丙醇）。酶活定义：30 °C，PBS 缓冲液 pH 7.5，每分钟催化胆固醇生成 1 μmol H<sub>2</sub>O<sub>2</sub> 所需要的酶量，定义为一个酶活力单位(U)，酶活测定方法将 3 ml 溶液 A 和 150 μl 溶液 B 混合，30 °C 保温 3 min 后加入 50 μl 适量浓度酶液，准确反应 5 min，置于沸水终止反应。500 nm 测定光吸收值 OD500，根据酶活定义及 H<sub>2</sub>O<sub>2</sub> 的标准曲线计算酶活。

最适温度的测定，在不同温度（20-60 °C）下测定胆固醇氧化酶的比酶活，以比酶活最高者为 100%。将胆固醇氧化酶在不同温度下保温 1 h 后，迅速冷却至 0 °C，测定酶的残余酶活力。

分别用浓度为 20 mM 的磷酸盐缓冲液(pH 6.0-8.0)、HEPES (pH 7.0-8.0)、Tris (pH 7.0-9.0)、MES (pH 5.5-6.5)、甘氨酸 (pH 8.5-9.0)的缓冲溶液配置测定酶活力的溶液 A，以酶活最高者为 100%。此外，将酶液用不同 pH 值的缓冲液稀释，在 4 °C 下放置 1 h 后，测

定其残余酶活力。

酶动力学参数测定方法为：以胆固醇、 $\beta$ -谷甾醇、孕烯醇酮及豆甾醇作为底物，底物浓度范围设定在 10-2000  $\mu\text{M}$  之间。最后数据通过 GraphPad Prism (version 5.00) 软件中的 Michaelis-Menten 方程拟合计算相应的  $K_m$ ,  $V_{\max}$ ,  $k_{\text{cat}}$  值。

### 1.2.5 催化产物胆甾-4-烯-3-酮 TLC 及 GC-MS 分析

Ni 亲和层析所得的  $\text{PsCO}_4$  蛋白液通过透析置换于反应缓冲液 Exchange A (50 mM Tris-HCl pH 8.0, 200 mM NaCl, 3 mM DTT and 25  $\mu\text{M}$  FAD) 中。1 ml 酶催化反应体系组成为：50 mM Tris-HCl pH 8.0, 50  $\mu\text{g}$   $\text{PsCO}_4$ , 5  $\mu\text{M}$  FAD, 3 mM DTT, 10 mg 胆固醇 (溶于 0.8% 异丙醇, w/v), 置于 30  $^\circ\text{C}$  下过夜反应。

反应体系中加入 500  $\mu\text{l}$  乙酸乙酯萃取 (重复三次) 后,  $\text{N}_2$  吹干溶于 50  $\mu\text{l}$  甲醇, 并进行 TLC 及 GC-MS 分析。TLC 流动相 (石油醚: 乙酸乙酯=4:1)。20 min 后于紫外 (254 nm) 下观察。

气相色谱-质谱法联用: 1  $\mu\text{l}$  的上样量, GC-MS (VARIAN 4000 GC/MS), 以 HP-5 ms (30 m $\times$ 0.25 mm $\times$ 0.25 mm, Agilent Technologies) 色谱柱分离胆固醇及催化产物, 离子模式为 70 eV。升温程序为: 以 150  $^\circ\text{C}$  为初始温度并保持 3 min, 然后以 5  $^\circ\text{C}/\text{min}$  速度升到 300  $^\circ\text{C}$ , 保持 10 min。结果与 NIST 数据库比对进行分析鉴定。

## 2 结果与讨论

### 2.1 重组表达载体 $\text{PsCO}_4$ -pET28a 验证

用 *EcoR* I 和 *Xho* I 限制性内切酶双酶切  $\text{PsCO}_4$ -pET28a, 可以得到 5.3 kbp 和 1.6 kbp 两条带; 同时利用菌落 PCR 也得到了 1.6 kbp 的清晰条带, 如图 2 所示, 与目的基因长度一致, 经测序验证正确, 重组质粒构建成功。

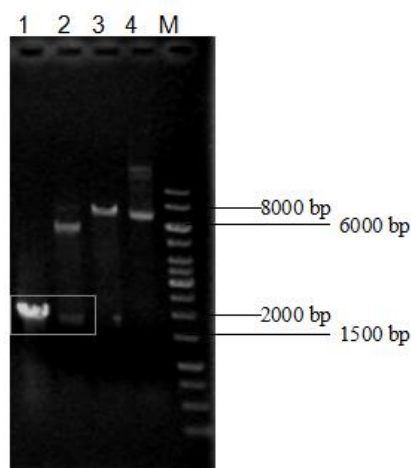


图 2  $\text{PsCO}_4$  酶切及菌落 PCR 验证



1: 菌落 PCR; 2: 双酶切; 3: EcoR I 单酶切; 4: PsCO<sub>4</sub>-pET28a; M: DNA Marker

Fig.2 Enzyme digestion and Colony PCR of PsCO<sub>4</sub>-pET-28a

1: Colony PCR; 2: Double enzyme digestion; 3: EcoR I digestion; 4: PsCO<sub>4</sub>-pET28a; 5: DNA Marker KB ladder

2.2 PsCO<sub>4</sub> 诱导表达的条件优化

利用生物信息学软件 DNAMAN 分析 PsCO<sub>4</sub> 核酸序列, 预测出 PsCO<sub>4</sub> 分子量约为 57.3 kDa。用 BCA 法测定不同诱导条件下, 各自上清可溶性蛋白的浓度, 然后再通过 Image lab 灰度分析 SDS-PAGE 电泳图, 最后计算出目标蛋白的浓度。最终结果表明, 选取大肠杆菌 Rosseta(DE3)作为宿主菌, 并在低温 15 °C 和 0.1 mM IPTG 浓度下诱导 18 h, 破碎上清可溶性目标蛋白量最高为 0.63 mg/ml。一般情况下, 高温高浓度 IPTG 诱导得到的目标蛋白浓度很低, 可能是由于高温高浓度的诱导条件会使目标蛋白肽链合成速度过快, 以至于没有足够的时间进行正确折叠, 导致形成很多折叠错误的蛋白质, 最后形成包涵体沉淀。所以, 低温以及适当浓度的 IPTG 对于形成可溶性有活性的蛋白是必要的。

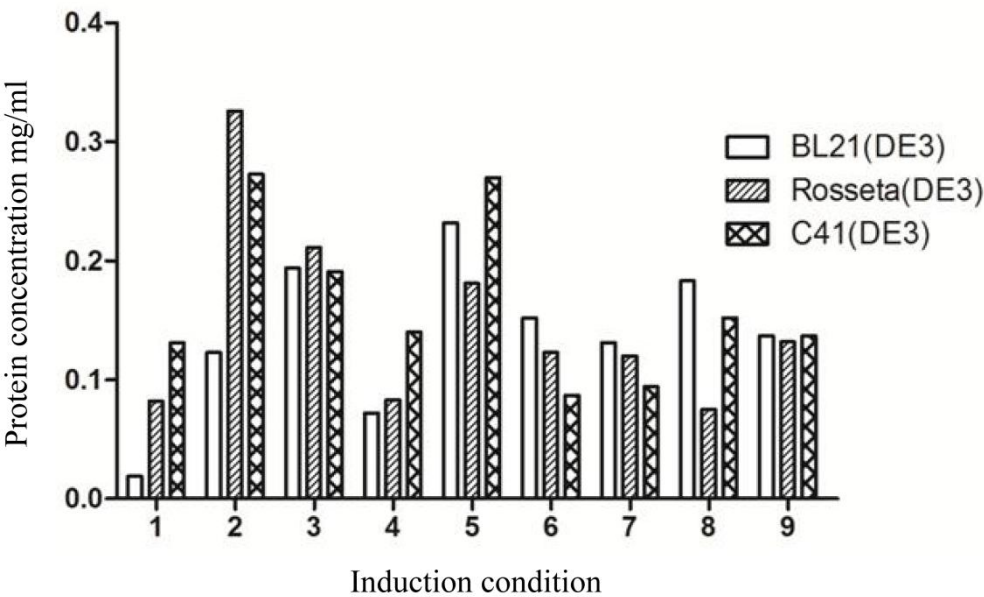


图3 不同诱导条件下可溶性蛋白的浓度

诱导条件: 1-3: 15 °C 0.05, 0.1, 0.5 mmol/L IPTG; 4-6: 25 °C 0.05, 0.1, 0.5 mmol/L IPTG; 7-9: 37 °C 0.05, 0.1, 0.5 mmol/L IPTG.

Fig.3 The concentration of soluble PsCO<sub>4</sub> in different induction conditions.

Induction conditions: 1-3: 15 °C 0.05, 0.1, 0.5 mmol/L IPTG; 4-6: 25 °C 0.05, 0.1, 0.5 mmol/L IPTG; 7-9: 37 °C 0.05, 0.1, 0.5 mmol/L IPTG.

2.3 PsCO<sub>4</sub> 诱导表达及纯化

通过对 SDS-PAGE 电泳图 (图 4A) 分析发现: 目标蛋白可以可溶性表达于上清, 但也有大量蛋白错误折叠, 以包涵体形式存在于沉淀中。通过 Ni-NTA 亲和层析可以看出, 50 mM 咪唑的漂洗缓冲液中含有较多目标蛋白, 说明 PsCO<sub>4</sub> 和 Ni-NTA 树脂亲和力较弱, 即使如此, 洗脱液中依然洗脱下大量的目标蛋白。该结果也与前述蛋白表达条件优化中, 以

Rosetta(DE3)作为宿主菌，在低温 15 ℃ 和 0.1 mM IPTG 浓度下诱导，蛋白的表达量最高相符。从离子交换层析图（图 4B）中可以看出目标蛋白响应值高达 370 mAU，在盐浓度约为 500 mM 时开始被大量洗脱下来，图 5 可以看出目标蛋白在 14ml 流出，介于 13ml（Protein Marker 13.7 kDa）和 17ml 之间（Protein Marker 75.0 kDa），可以断定 PsCO<sub>4</sub>是以单体形式存在。SDS-PAGE 分析可得到高达 95% 以上纯度的目的蛋白，进而可以进行准确的蛋白浓度测定和酶动力学参数测定。

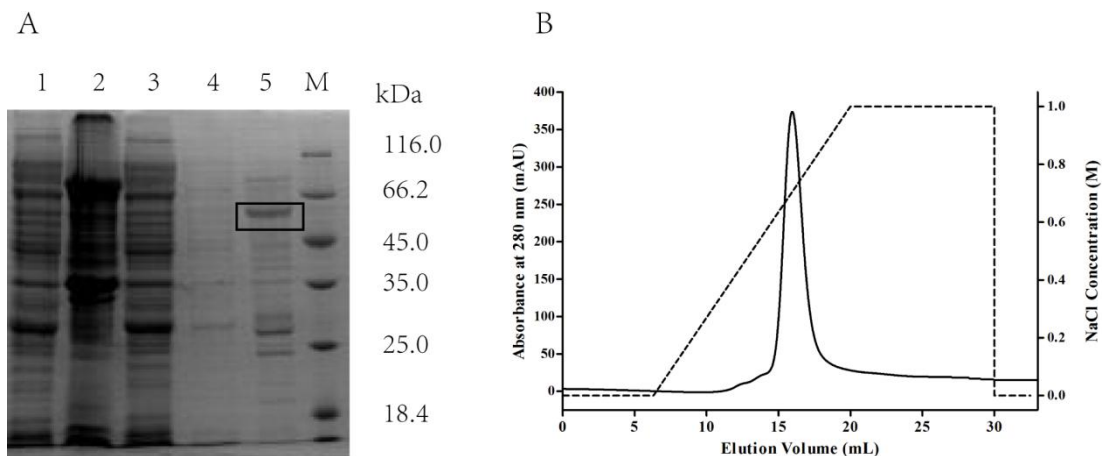


图 4 亲和层析和离子交换层析

(A) 1: 上清; 2: 沉淀; 3: 流穿液; 4: 洗杂液; 5: 洗脱液;

(B) 离子交换层析图

Fig.4 SDS-PAGE of affinity chromatography and Ion exchange chromatography

(A) 1:supernatant; 2:precipitant; 3:flowthrough; 4: washing buffer; 5:elution buffer;

(B) Ion exchange chromatography

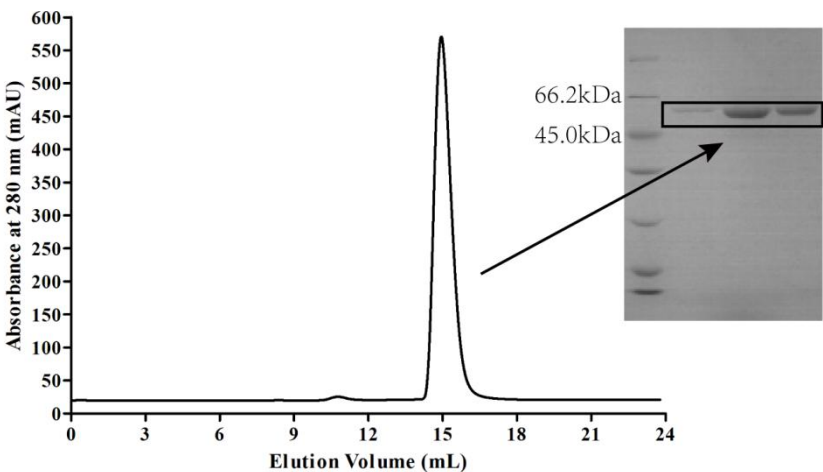


图 5 凝胶过滤层析

Fig.5 Gel filtration chromatography

2.5 酶催化产物鉴定

胆固醇氧化酶特异性催化底物胆固醇成胆甾-4-烯-3-酮，并且该产物在紫外（254 nm）下可以显色。通过 TLC 薄层色谱法分析，初步验证了 PsCO<sub>4</sub> 具有催化胆固醇的活性(图 6A)。

利用气相色谱-质谱法联用检测酶催化产物，如图 6B，发现胆固醇及胆甾-4-烯-3-酮分别在保留时间 34.29 min、35.17 min 处有吸收峰，质谱检测结果与 NIST 库比对高度一致，124 m/z 为其特征离子峰，进一步证明异源表达的 PsCO<sub>4</sub> 在体外依然具有催化胆固醇生成胆甾-4-烯-3-酮的氧化活性。

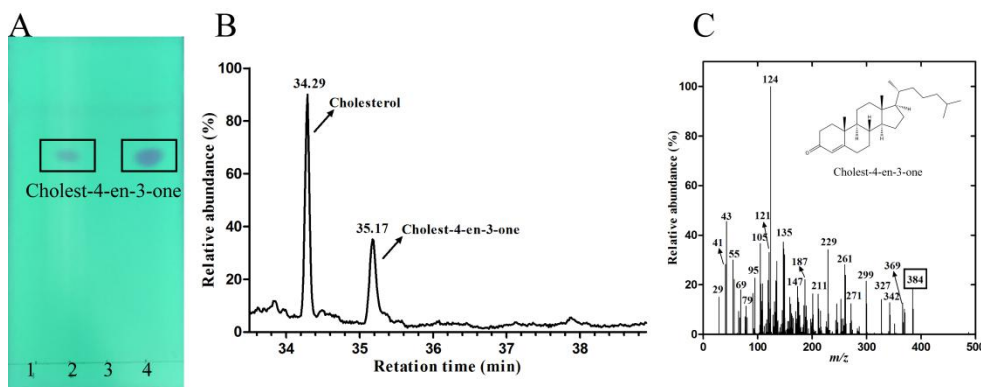


图 6 薄层色谱法和气相色谱-质谱联用法鉴定催化产物

(A) TLC 1: 空质粒 pET-28a; 2: PsCO<sub>4</sub>-pET28a; 3: 胆固醇标准品; 4: 胆甾-4-烯-3-酮标准品;

(B) and (C) GC-MS

Fig.6 Product analysis with (A) TLC and (B, C) GC-MS

(A) 1: Vector pET-28a; 2: PsCO<sub>4</sub>-pET28a; 3: Cholesterol; 4: Standard of 4-Cholesten-3-one;

## 2.6 酶学性质分析

通过 1.2.4 的方法将 PsCO<sub>4</sub> 置于不同温度、pH 条件下进行催化反应，测出 PsCO<sub>4</sub> 最适的反应条件。

在 25 °C、30 °C、35 °C、40 °C、45 °C、50 °C、55 °C 和 60 °C 下，测定 PsCO<sub>4</sub> 最适反应温度。图 7A 表明，当温度低于 30 °C 时，胆固醇氧化酶 PsCO<sub>4</sub> 活性随着温度的上升而缓慢上升，而当温度高于 30 °C 时，其活性逐渐下降。将胆固醇氧化酶置于不同 pH 的环境下处理后反应，结果如图 7B 所示，随着 pH 值得上升，PsCO<sub>4</sub> 表现出升高的催化活性，当 pH = 7.5 时，酶活力达到最大值，而当 pH > 7.5 时，酶活力呈现下降趋势，说明胆固醇氧化酶 PsCO<sub>4</sub> 在弱碱环境下保持较高活性，最适反应 pH 为 7.5。



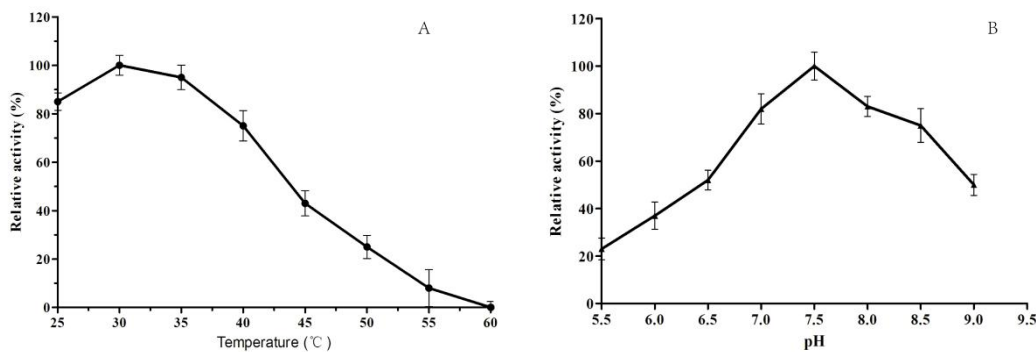


图 7 温度 (A) 和 pH (B) 对胆固醇氧化酶 PsCO<sub>4</sub> 酶活的影响  
Fig.7 Effect of temperature (A) and pH (B) on the PsCO<sub>4</sub>

2.5 酶动力参数

PsCO<sub>4</sub> 对胆固醇、β-谷甾醇、豆甾醇和孕烯醇酮的动力学参数如下表所示，可以看出胆固醇氧化酶 PsCO<sub>4</sub> 对胆固醇有较高的活性，其豆甾醇相对活性约只有 67.20%。通过比较二者动力学参数可以发现，胆固醇的  $K_m$  为 231.21 μM，低于豆甾醇等底物，说明 PsCO<sub>4</sub> 对胆固醇的亲和力较强，这也说明 PsCO<sub>4</sub> 对胆固醇的催化活性较高的原因。 $k_{cat}/K_m$  表示的是酶对底物的催化效率，胆固醇的  $k_{cat}/K_m$  值 2 倍高于β-谷甾醇，并且其反应速率  $k_{cat}$  也明显高于β-谷甾醇，说明来源于 *P. simplex* 的 PsCO<sub>4</sub> 对胆固醇有更高的偏好性。通过胆固醇及β-谷甾醇结构比对发现，β-谷甾醇在 C-22 位上多了个 -C<sub>3</sub>H<sub>7</sub>，使其空间结构上更加复杂，在酶反应过程中β-谷甾醇在进入酶活性中心时，比胆固醇受到更多的空间位阻，可能是导致其活性低于胆固醇的主要原因。

表 1 胆固醇氧化酶的酶学性质

底物	比酶活 (U·mg <sup>-1</sup> )	相对酶活 (%)	$K_m$ (μM)	$k_{cat}$ (s <sup>-1</sup> )	$k_{cat}/K_m$ (s <sup>-1</sup> ·μM <sup>-1</sup> )
胆固醇	11.02	100	231.21 ± 11.20	18.49 ± 1.81	0.08
β-谷甾醇	7.41	67.20	362.25 ± 23.50	14.49 ± 1.09	0.04
豆甾醇	0.04	0.35	526.23±10.60	2.54±0.47	0.005
孕烯醇酮	1.00	9.10	300.98±2.51	5.99±0.68	0.02

Table.1 Cholesterol oxidase enzymatic properties

2.6 PsCO<sub>4</sub> 三维结构及催化机制分析

来源不同的胆固醇氧化酶其氨基酸序列存在较大的差异，所以蛋白质的空间结构也存在较大的差异。检索 PDB 数据库，PsCO<sub>4</sub> 与 *Brevibacterium sterolicum* 来源的胆固醇氧化酶在

氨基酸序列比对中具有较高的相似度。用 SWISS-MODEL (<http://swissmodel.expasy.org>) 同源建模。PsCO<sub>4</sub> 的功能结构由两个结构域组成，即辅因子 FAD 结合区域和底物结合区，分子模拟如图 8 粉色为 FAD，黄色为底物类似物。从图中可以看出 PsCO<sub>4</sub> 结合底物氨基酸有 W56、M402、K346、L306、I409、I398、L400 与 PsChO 的底物结合氨基酸 V204、P63、V46、F70、L360、T329、E346 完全不同<sup>[13]</sup>。且底物结合区有足够大的空间可以容纳胆固醇。胆固醇结合位点是由隔离了蛋白外界环境的大量 loop 包围形成的疏水“口袋”组成，这个区域表现出更高的柔性，通过模拟对比发现 PsCO<sub>4</sub> 与 *P. simplex* 来源的 PsChO<sup>[13]</sup> 和 *Brevibacterium sterolicum* 来源的胆固醇氧化酶 1coy 相比具有较大的底物入口通道直径为 11.8Å 如图 9 所示。更有利于底物出入活性中心进行催化反应。据参考文献<sup>[14]</sup>报道在底物胆固醇进入疏水口袋时，相关 loop 在空间结构上会进行调整，从而促进生物催化反应的顺利进行。

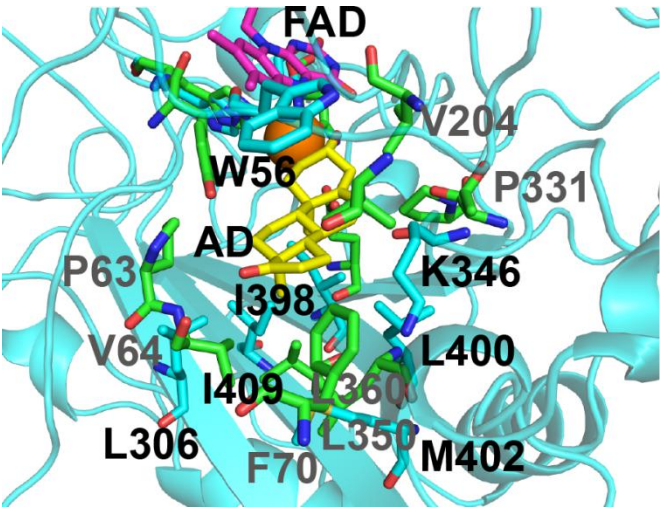


图 8 PsCO<sub>4</sub> 活性中心底物结合关键氨基酸比较图

Fig. 8 PsCO<sub>4</sub> active center substrate binding key amino acid comparison

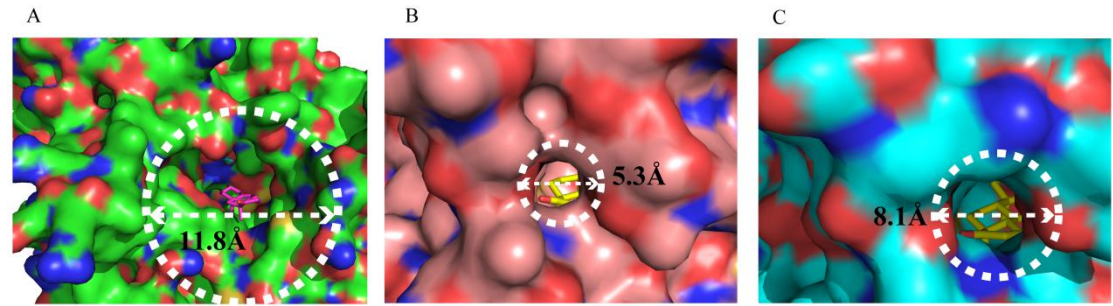


图 9 不同来源胆固醇氧化酶底物结合通道

(A) PsCO<sub>4</sub> 的模拟底物结合通道

(B) PsChO 的底物结合通道

(C) *Brevibacterium sterolicum* 来源的胆固醇氧化酶 1coy 底物结合通道

Figure 9 Cholesterol oxidase substrate binding domains from different sources

(B) PsChO substrate binding channel

胆固醇氧化酶 PsCO<sub>4</sub> 具有两种催化功能，首先胆固醇氧化酶的氧化脱氢，即：作用于胆固醇 C3 上的β-羟基氧化其为胆甾-5-烯-3-酮；接着是异构化：胆甾-5-烯-3-酮在胆固醇氧化酶作用下将 C4 β位上质子转移到 C6 位上，最终生成产物胆甾-4-烯-3-酮。活性中心的 His469 在氧化过程中起到从类固醇底物的 C3-OH 中提取质子的碱催化剂的作用，质子氢从底物 C3 传递到 FAD-N5，并且随后作为用于稳定异构化中的二烯醇中间体的酸<sup>[15]</sup>，其催化反应基元反应如图 10。

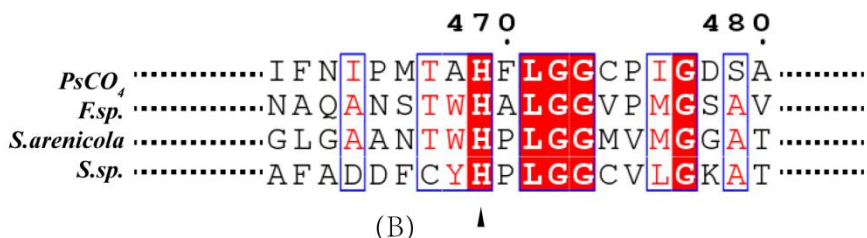


Figure 10 Cholesterol Oxidase Catalytic Mechanism (A) <sup>[15]</sup> and Cholesterol Oxidase Sequence Alignment (B)

### 3 结 论

胆固醇氧化酶 PsCO<sub>4</sub> 在大肠杆菌 Rosetta(DE3)实现了高效的表达。蛋白经过 Ni 亲和层析发现, PsCO<sub>4</sub> 与 Ni 树脂之间的亲和力较弱, 低浓度的咪唑就能洗脱出蛋白。测得纯化出来的酶液的酶学性质, 发现酶的最适反应温度为 30 ℃, 最适 pH 7.5。胆固醇为底物的催化反应其产物经 TLC、GC-MS 验证为胆甾-4-烯-3-酮。以胆固醇豆甾醇、β-谷甾醇和孕烯醇酮为底物, 初步研究该胆固醇氧化酶 PsCO<sub>4</sub>对底物的特异性, 发现其对胆固醇的催化活性较高。对 PsCO<sub>4</sub> 进行三维建模, 底物结合位点的分析。该研究为后续更深入研究 PsCO<sub>4</sub>的底物特异性及催化机理提供理论依据。

#### 参考文献

- [1]王镜岩, 朱圣庚, 徐长法. 生物化学(上、下)第三版[M]. 北京: 高等教育出版社, 2002. 114  
Wang J G, Zhu S G, Xu C F. Biochemistry, third Edition [M]. Beijing: Higher Education Press, 2002. 114
- [2] 张士亮. 胆固醇与人体健康[J]. 生物学通报, 1998, 33 (11): 22-23  
Zhang S L. Cholesterol and human health. Bulletin of Biology [J]. 1998, 33 (11): 22-23
- [3] 周东明. 胆固醇缺乏对 Jurkat 细胞增值功能及凋亡的影响[J]. 第三军医大学学报, 2000, 22 (4) : 363-365  
Zhou D M. The effect of cholesterol deficiency on the proliferation and apoptosis of Jurkat cells [J]. Journal of Third Military Medical University, 2000, 22 (4): 363-365
- [4] Doukyu N, Nihei S. Cholesterol oxidases with high catalytic activity from Pseudomonas aeruginosa: Screening, molecular genetic analysis, expression and characterization[J]. Journal of Bioscience and Bioengineering, 2015, 120(1): 24-30
- [5] 沈同, 王镜岩, 生物化学(上、下)第一版[M]. 北京: 高等教育出版社, 1999 年.  
Shen T, Wang J Y, Biochemistry, first edition [M]. Beijing: Higher Education Press, 1999.
- [6] 欧阳红, 杨秀芳. 心脑血管疾病饮食调节[M]. 北京: 金盾出版社, 2009 年: 187  
Ouyang H, Yang X F. The diet regulation of cardiovascular and cerebrovascular diseases [M]. Beijing: Jindun publishing house, 2009: 187
- [7] Mathieu J M, Wang F, Segatori L, et al. Increased resistance to oxysterol cytotoxicity in fibroblasts transfected with a lysosomally targeted Chromobacterium oxidase[J]. Biotechnology And Bioengineering, 2012, 109 (9): 2409-2415
- [8] 王冠超. 重组胆固醇氧化酶的表达与纯化研究[D]. 无锡: 江南大学, 食品学院, 2014.  
Wang G C. Expression and purification of recombinant cholesterol oxidase[D]. Wuxi: Jiangnan University, School

of food science and technology, 2014.

[9] Turfitt G. The microbiological degradation of steroids: 2. Oxidation of cholesterol by *Proactinomyces* spp[J]. *Biochemical Journal*, 1944, 38(5): 492

[10] Qin H M, Wang J W, Guo Q Q, et al. Refolding of a novel cholesterol oxidase from *Pimelobacter simplex* reveals dehydrogenation activity[J]. *Protein Expression & Purification*, 2017, 139(7): 1-7

[11] Kojima K, Kobayashi T, Tsugawa W, et al. Mutational analysis of the oxygen-binding site of cholesterol oxidase and its impact on dye-mediated dehydrogenase activity[J]. *Journal Of molecular Catalysis B-enzymatic*, 2013, 88(88): 41-46

[12] Glynn K, Ioannou PC, Christopoulos TK. One-step purification and refolding of recombinant photoprotein aequorin by immobilized metal-ion affinity chromatography[J]. *Protein Expression & Purification*, 2003, 27(2): 384-390

[13] Qin H M, Zhu Z L, Ma Z, et al. Rational design of cholesterol oxidase for efficient bioresolution of cholestane skeleton substrates[J]. *Scientific Reports*. 2017, 7:16375

[14] 季文明, 陈毅力, 张和春. 比色法测定胆固醇氧化酶酶活. *无锡轻工大学学报*, 2000, 5(19): 251-254  
Ji W M, Chen Y L, Zhang H C, et al. Assay of cholesterol oxidase activity by colorimetry[J]. *Journal of Wuxi University of Light Industry*, 2000, 5(19) : 251-254

[15] Yue Q K, Kass I J, Sampson N S, et al. Crystal structure determination of cholesterol oxidase from *Streptomyces* and structural characterization of key active site mutants[J]. *Biochemistry*, 1999, 38(14): 4277-4286.

[16] Li J, Vrielink A, Brick P, et al. Crystal structure of cholesterol oxidase complexed with a steroid substrate: implications for flavin adenine dinucleotide dependent alcohol oxidases[J]. *Biochemistry*, 1993 32(43), 11507-11515